

บทที่ 2

หลักการและทฤษฎี

2.1 บทนำ

ตามปกติเมื่อของสิ่งใดอยู่ค้างระดับกัน โดยปกติแล้ว ธรรมชาตินักปรับให้อยู่ในสภาพสมดุล เสมอ กล่าวคือ จะมีแรงเกิดขึ้นเพื่อดันให้ส่วนที่อยู่ในระดับเหนือกว่าหละลงไปยังส่วนที่อยู่ต่ำกว่า ฉะนั้นเมื่อคินอยู่ในระดับต่างกัน ก็จะมีแรงกระทำให้คินที่อยู่ระดับเหนือกว่าหละหรือหลายไปสู่ ระดับที่ต่ำกว่า แรงที่กระทำนี้ เช่น แรงคงคุชของโลก แรงที่เกิดจากการซึมผ่านของน้ำ ซึ่งแรงประเภทนี้พยายามทำให้คินเกิดการเคลื่อนที่ เรียกว่า Disturbing force หรือ Actuating force แต่เนื่องจากภายในมวลคินเองมีแรงค้านทานต่อแรงกระทำนี้ ตัวอย่างแรงค้านทาน เช่น แรงเสียดทาน แรงขัดเหนี่ยว และกำลังค้านทานแรงเฉือน แรงประเภทนี้รวมเรียกว่า resisting force ดังนั้นทราบได้ที่ ค่าแรงค้านมีมากกว่าค่าแรงที่กระทำ หรืออัตราส่วนแรงค้านต่อแรงที่กระทำเรียกอัตราส่วนนี้ว่า “ค่า สัดส่วนความปลอดภัย” (Factor Safety: FS) มีค่ามากกว่าหนึ่งคินจะไม่เลื่อนไถลหรือหลายลง

2.2 ปัจจัยของเสถียรภาพความลาด

2.2.1 การเพิ่มขึ้นของความเห็น

ตัวอย่างของการเพิ่มขึ้นของความเห็นที่ทำให้เสถียรภาพของความลาดลดลง เช่น

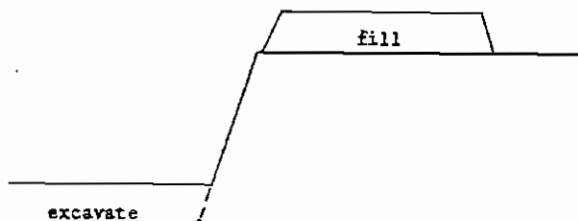
- การเพิ่มขึ้นของเปอร์เซ็นต์น้ำในดิน (Water Content)

รูปที่ 2.1 ฝนตกทำเปลือรเซ็นต์น้ำในดินเพิ่มขึ้น



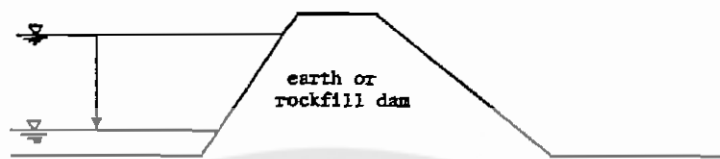
- การขุดดินบริเวณปลายด้านล่างทางลาดหรือการถอนดินบริเวณปลายด้านบนทางลาด

รูปที่ 2.2 แสดงตัวอย่างการเพิ่มขึ้นของความเห็นเนื่องจากการขุดและการถอนดิน



- การลดหรือเพิ่มระดับน้ำอย่างรวดเร็ว เช่น ทางลาดบริเวณเขื่อน

รูปที่ 2.3 แสดงตัวอย่างการเพิ่มขึ้นของความเค็มนื้องจาก การ Xuč และ การ ณ ณ



- แรงดันน้ำในรอยแยก (Crack)

รูปที่ 2.4 แสดงตัวอย่างแรงดันน้ำในรอยแยก (Crack)



- การเพิ่มขึ้นของแรงดันบนทางลาดเนื่องจากโครงสร้างต่างๆ บนทางลาด

ฯลฯ

2.2.2 การลดลงของความแข็งแรงดิน

ตัวอย่างสาเหตุที่ทำให้ความแข็งแรงของคินลดลงที่ทำให้เสื่อมสภาพของความลาดลดลง เช่น

- การเพิ่มของความเค็มในคิน
- การเพิ่มขึ้นของเปอร์เซ็นต์น้ำในคิน (Water Content)
- การ Xuč คินบริเวณปลายด้านล่างทางลาด
- การสูญเสียความละอียดของคินเนื่องจากการสั่นสะเทือน (Liquefaction)
- เกิดความเครียดในคิน

ฯลฯ

2.3 ค่าสัดส่วนปลอดภัย (Factor of Safety; FS)

วิเคราะห์เสถียรภาพมีข้อความสามารถของการวิเคราะห์ในวงกว้างและ helyp; ผลการวิเคราะห์เสถียรภาพจะแสดงอยู่ในรูปด้วยค่าสัดส่วนปลอดภัย (Factor of Safety; FS) โดยค่าสัดส่วนปลอดภัยสามารถหาได้จาก

$$\text{สัดส่วนความปลอดภัยของความลาด} (FS) = \frac{\text{ไมแนวตั้งหรือแรงที่ด้านหน้า}}{\text{ไมแนวตั้งหรือแรงที่กระทำ}} \quad (2.1)$$

ถ้าส่วนปลอดภัยน้อยที่สุดมีค่าเท่ากับ 1 หมายความว่าใกล้จะถึงจุดอันตราย ที่คินจะเริ่มเลื่อนตัว ถ้าให้คินทรงตัวอยู่ได้ ส่วนปลอดภัยต้องมีมากกว่า 1 แต่ในทางปฏิบัติต้องพิจารณาความแตกต่างระหว่างสมมติฐานที่ใช้ในการคำนวณ รวมทั้งความผิดพลาดของค่าคงที่ ที่ใช้กับค่าที่แท้จริงของคินด้วย ปกติใช้ $FS = 1.2$ โดยประมาณ

ตัวเลขค่าสัดส่วนความปลอดภัยของความลาดหนึ่งๆ นั้นสามารถมีได้หลายค่า ตัวเลขค่าสัดส่วนปลอดภัยที่มีค่าน้อยที่สุดคือวัตถุประสงค์หลักในการวิเคราะห์เสถียรภาพของความลาด วิธีหาค่าสัดส่วนปลอดภัยที่มีค่าน้อยที่สุดที่นิยมกันมากที่สุดคือการสมมติพื้นผิววัตถุขึ้น helyp; พื้นผิวที่ให้สัดส่วนปลอดภัยน้อยที่สุดจะเป็นค่าตอบของการวิเคราะห์

2.4 การวิเคราะห์เสถียรภาพของทางลาดด้วย Equilibrium Equation Method

2.4.1 ความลาดไม่มีขอบเขตจำกัด (Infinite Slope)

ความลาดที่ไม่มีขอบเขตเป็นความลาดที่มีแนวลาดเอียงยาวมาก ในการวิเคราะห์จะสมมติให้คินที่อยู่ลึกจากผิวดินเท่ากันมีคุณสมบัติเหมือนกันและมีระนาบการพังทลายขนานกับผิวดิน ซึ่งสามารถแบ่งออกได้ 2 ประเภท คือ

2.4.1.1 ความลาดไม่มีขอบเขตจำกัดที่ไม่มีน้ำไหลซึมผ่าน

การวิเคราะห์ในกรณีนี้จะสมมติให้แรงดันน้ำ (Pore Water Pressure) เท่ากับศูนย์ พิจารณาญูปที่ 2.5 ให้คินตามแนว AB เอียงทำมุมกับแนวราบเป็นมุม α ถ้าคุณสมบัติและหน่วยแรงในคินระนาบใดๆที่เอียงขนานกับแนว AB มีค่าเหมือนกันหมด สมมติให้เกิดการลื่นไถลตามแนว CD ซึ่งอยู่ลึกจากผิวดินเป็นระยะ H

พิจารณาเท่งคินที่มีความยาวตามเอียง เป็น b และลึก H ถ้าหน่วยน้ำหนักของคินเท่ากับ γ

$$\text{น้ำหนักของเท่งคินนี้ : } W = \gamma H b \cos \alpha$$

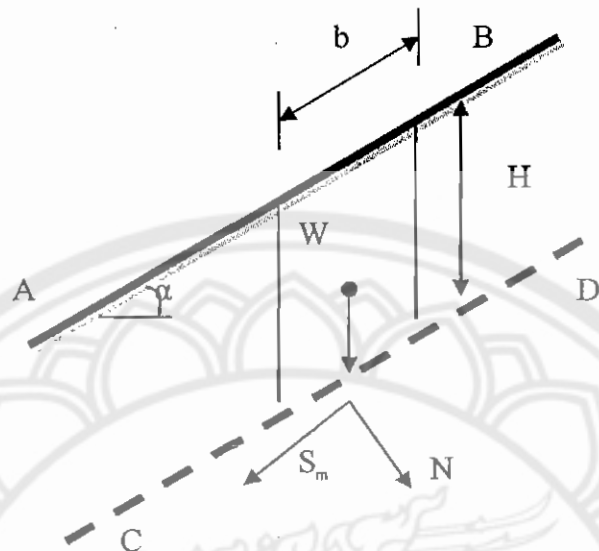
$$\text{หน่วยแรงในแนวคิ่ง : } \sigma_r = \frac{W}{b} \gamma H \cos \alpha$$

$$\text{ตั้งน้ำหน่วยแรงตึงฉากกับ CD; } N = \sigma_r \cos \alpha = \gamma H \cos^2 \alpha$$

$$\text{หน่วยแรงเฉือนกับ CD: } S_m = \sigma_r \sin \alpha = \gamma H \cos \alpha \sin \alpha$$

$$\text{กำลังรับแรงเฉือนของดิน : } S = c + N \tan \phi$$

รูปที่ 2.5 แสดงค่าวัสดุต่างๆ ของความลาดไม้มีขอบเขตจำกัดที่ไม่มีน้ำไหลซึมผ่าน
ที่มา : วินิต ชยวิเชียร และ วัฒนา ธรรมมงคล (2532)



หน่วยแรงเฉือนที่กระทำนี้จะถูกต้านด้วยหน่วยแรงเฉือนของคินเพื่อมไว้เกิดการเลื่อนไถลอันเนื่องมาจากแรงเฉือน

$$\begin{aligned}
 \text{สัดส่วนปลอกภัยของความลาด} ; \quad FS. &= \frac{S}{S_m} = \frac{c + N \tan \phi}{\gamma H \cos \alpha \sin \alpha} \\
 &= \frac{c + (\gamma H \cos^2 \alpha) \tan \phi}{\gamma H \cos \alpha \sin \alpha} \\
 &= \frac{c}{\gamma H \cos^2 \alpha \tan \alpha} + \frac{\tan \phi}{\tan \alpha} \quad (2.2)
 \end{aligned}$$

ความค้านทานต่อแรงเฉือนของคินขึ้นอยู่กับแรงยึดเหนี่ยวระหว่างเม็ดคินและแรงเสียทานภายในระหว่างเม็ดคินซึ่งจะแบ่งพิจารณาเป็น 2 กรณี คือสำหรับคินที่มีการเชื่อมแน่นและคินที่ไม่มีการเชื่อมแน่น

กรณี (ก.) คินไม่มีความเชื่อมแน่น ($c = 0$)

$$\text{สัดส่วนปลอกภัยของความลาด} ; FS = \frac{S}{S_m} = \frac{\tan \phi}{\tan \alpha} \quad (2.3)$$

ซึ่งจะเห็นได้ว่าที่ค่าหน่วยแรงตั้งฉาก (N) ใดๆ หรือระยะลึกใดๆ การเลื่อนไถลจะไม่เกิดขึ้นตราบใดที่ค่า S_m น้อยกว่า N หรือนั่นคือ เมื่อมุมลาดเอียง (α) มีค่าน้อยกว่ามุมเสียทานภายใน (ϕ)

กรณี (ข.) ดินมีความชื้นแน่น

$$\text{จากสัดส่วนปลดภัยของความลาด } ; FS = \frac{c + (\gamma H \cos^2 \alpha) \tan \phi}{\gamma H \cos \alpha \sin \alpha}$$

จะเห็นว่าที่ระยะลึก H ใดๆ จากผิวดิน ถ้ามุมลาดเอียงของคิน (α) น้อยกว่าหรือเท่ากับมุมเสียดทานภายในของคิน (ϕ) จะได้ค่าหน่วยแรงเฉือนซึ่งยังน้อยกว่าค่าของหน่วยแรงเฉือนของคิน (τ_f) แสดงว่ายังไม่เกิดการเลื่อนไถล แต่ถ้ามุมลาดเอียงของคิน (α) มากกว่าหรือเท่ากับมุมเสียดทานภายในของคิน (ϕ) จะต้องพิจารณาถึงระยะลึก H ด้วย

จะพิจารณาเมื่อ $FS = 1$ (ดินจะเริ่มเลื่อนไถล) และให้ระยะวิกฤต $H = h_{cr}$ จะได้

$$h_{cr} = \frac{c}{\gamma \cos^2 \alpha (\tan \alpha - \tan \phi)} \quad (2.4)$$

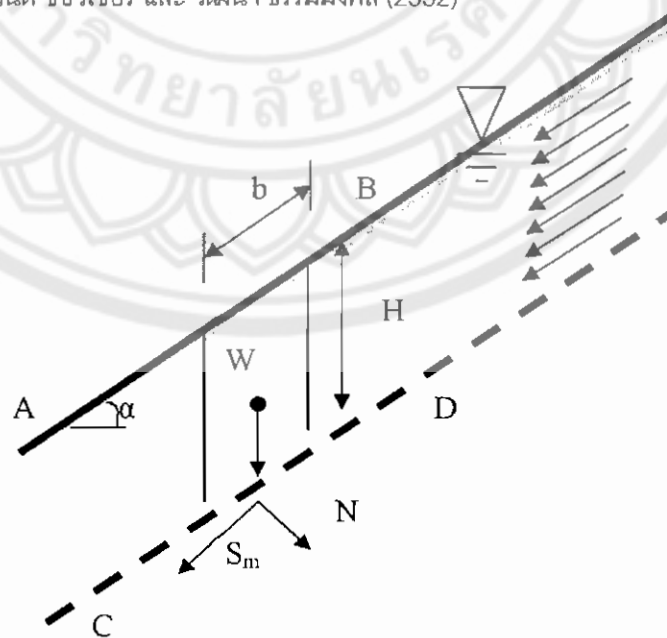
จะเห็นในกรณีที่หากมุมลาดเอียงของคิน (α) มากกว่าหรือเท่ากับมุมเสียดทานภายในของคิน (ϕ) ค่าระยะ H ต้องไม่เกินกว่าระยะวิกฤต h_{cr} จึงจะไม่เกิดการไถล

2.4.1.2 ความลาดไม่มีขอบเขตจำกัดที่มีน้ำไหลซึ่มผ่าน

ในการวิเคราะห์จะสมมติให้มีน้ำไหลซึ่มผ่านและระดับน้ำได้คงอยู่ที่ระดับผิวดิน พิจารณา รูปที่ 2.6 ถ้าน้ำอยู่บนหักคินอิ่มตัวเท่ากับ γ_{sat}

รูปที่ 2.6 แสดงตัวแปรต่างๆ ของความลาดไม่มีขอบเขตจำกัดที่มีน้ำไหลซึ่มผ่าน

ที่มา : วินิต ชยวิเชียร และ วัฒนา ธรรมมงคล (2532)



น้ำหนักของแท่งคินนี่ ; $W = \gamma_{sat} H b \cos \alpha$
 หน่วยแรงในแนวตั้ง ; $\sigma_v = \frac{W}{b} \gamma_{sat} H \cos \alpha$
 ดังนั้นหน่วยแรงตั้งจากกับ CD; $N = \sigma_v \cos \alpha = \gamma_{sat} H \cos^2 \alpha$
 หน่วยแรงเฉือนกับ CD; $S_m = \sigma_v \sin \alpha = \gamma_{sat} H \cos \alpha \sin \alpha$
 แรงดันน้ำกระทำกับ CD; $u = \gamma_w H \cos^2 \alpha$
 สัดส่วนปลดภัยของความลาด ; $FS. = \frac{c + (\gamma_{sat} H \cos^2 \alpha - u) \tan \phi}{\gamma_{sat} H \cos \alpha \sin \alpha}$
 $= \frac{c + (\gamma_{sat} H \cos^2 \alpha - \gamma_w H \cos^2 \alpha) \tan \phi}{\gamma_{sat} H \cos \alpha \sin \alpha}$
 $= \frac{c}{\gamma_{sat} H \cos^2 \alpha \tan \alpha} + \frac{\gamma' \tan \phi}{\gamma_{sat} \tan \alpha} \quad (2.5)$

เมื่อ $\gamma' = \text{หน่วยน้ำหนักประสิทธิผล} = \gamma_{sat} - \gamma_w$

2.4.2 ความลาดมีขอบเขตจำกัด (Finite Slope)

ความลาดความยาวมีขอบเขตจำกัด(Finite Slope) เป็นความลาดของคินที่มีความสูงอยู่ในขอบเขตจำกัด รูปแบบของการพังทลาย (Types of Failures) เกิดขึ้นในลักษณะที่คินเคลื่อนตัวเป็นแนวโค้ง (Rotational slide) ลักษณะพังทลายมีอยู่หลายแบบด้วยกัน คือ

รูปที่ 2.7 แสดงรูปแบบการพังทลายแบบต่างๆ

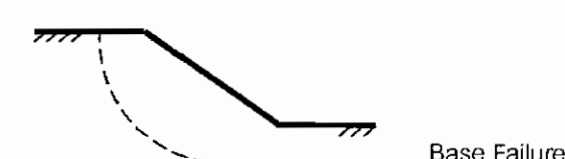
ที่มา : วินิต ช่อวิเชียร และ วัฒนา ธรรมรงค์ (2532)



Slope or Face Failure



Toe Failure



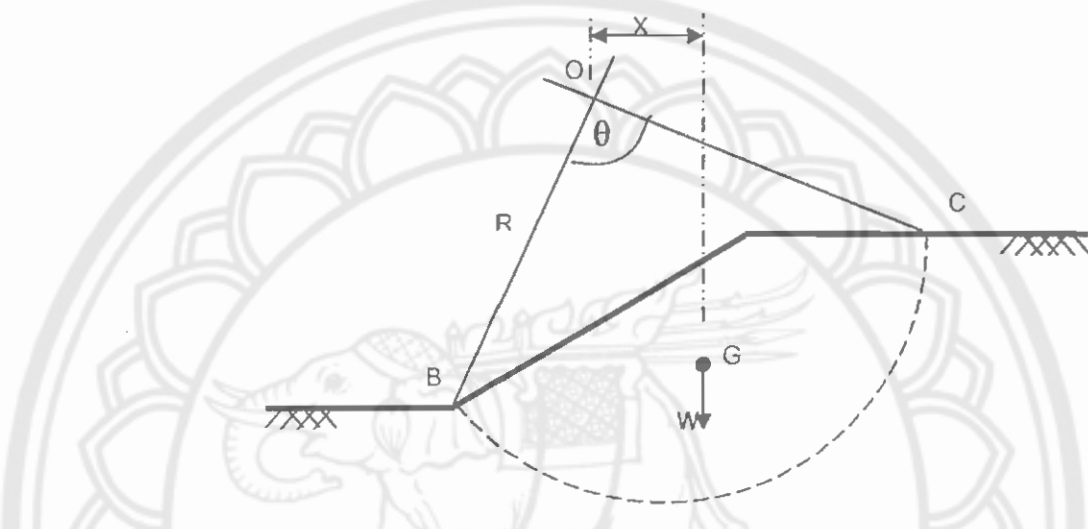
Base Failure

2.4.2.1 การวิเคราะห์เสถียรภาพความลากวิธี Circular Arc Method.

นิยมใช้การวิเคราะห์กับคินที่มีความเชื่อมแน่น ($\phi = 0$) เช่น คินเหนียว ในกรณีนี้ เสถียรภาพของความลากซึ่งขึ้นอยู่กับกำลังต้านทานของคินเหนียว (ที่อิ่มตัว) จะขึ้นอยู่กับแรงยึดเหนี่ยวของคินเหนียว

รูปที่ 2.8 แสดงตัวแปรในการวิเคราะห์วิธี Circular Arc Method.

ที่มา : วินิต ชัยวิเชียร และ วัฒนา ธรรมรงค์ (2532)



พิจารณารูปที่ 2.8 เกือกส่วนโถงของวงกลม BC ซึ่งเป็นระบบที่คิดว่าคินจะพังตามแนวนี้ โดยมี O เป็นจุดศูนย์กลาง รัศมีความโถงเท่ากับ R ให้ W เป็นน้ำหนักของคินที่จะพังลงตามแนว BC ซึ่งกระทำที่จุดศูนย์กลางของคินส่วนนี้ ดังรูป 2.8

$$\text{โมเมนต์รอบจุด } O \text{ เนื่องจากน้ำหนักคินที่จะพังลงมา} = Wx$$

$$\text{โมเมนต์ต้านทานรอบจุด } O \text{ เนื่องจากแรงยึดเหนี่ยวตามแนว } BC = (c)(l)(R)$$

เมื่อ $c = \text{หน่วยแรงยึดเหนี่ยวของคิน}$

$l = \text{ความยาวของแนวโถง } BC$

แทนค่า $l = \theta R$ จะได้

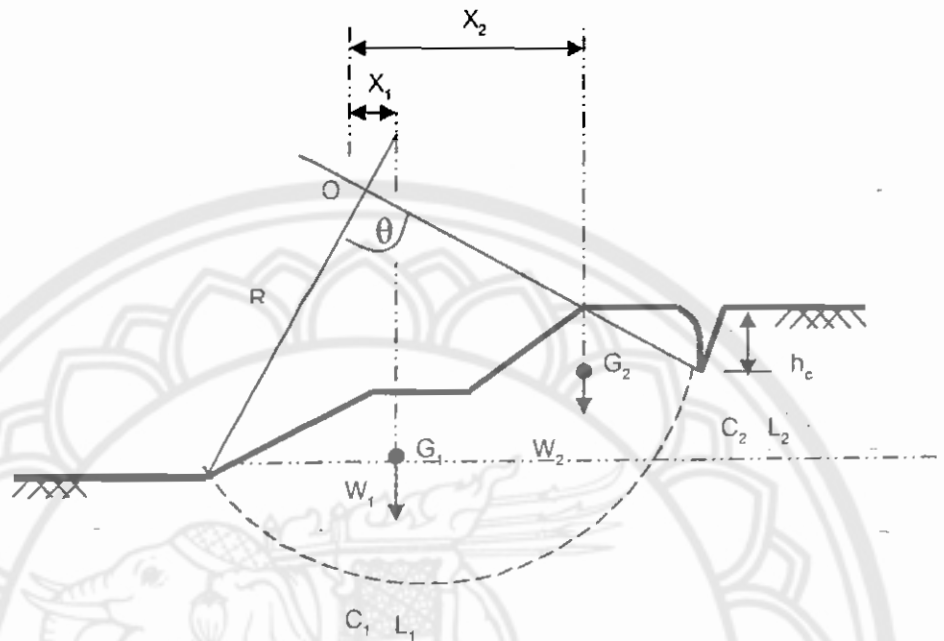
$$\text{ส่วนปิดอคภัยของความลาก ; (FS)} = \frac{cR^2\theta}{Wx} \quad (2.6)$$

ในกรณีที่ความลากไม่เป็นเส้นตรงเดียวกันหรือถ้าคินมีแรงยึดเหนี่ยวในแต่ละชั้นไม่เท่ากัน ให้แบ่งการคำนวณออกเป็นส่วนชิ้นเด็กๆ ที่ขนานกัน (Parallel Strip) ตามแนวตั้งหรือแนวอนก์ได้ คั่งรูป และถ้าคินแยกออกเนื่องจากแรงดึง (tension crack) ความยาวของส่วนโถงของวงกลม (l) ที่ต้านทานต่อการเลื่อนไถล ให้วัดจากปลายของรอยแยกนี้ (ความสูงของรอยแยกของคิน h_c ประมาณ เท่ากับ $\frac{2c}{\gamma} \left(\tan 45^\circ + \frac{\phi}{2} \right)$)

รูปที่ 2.9 แสดงตัวแบบในการวิเคราะห์ Circular Arc Method. กรณีความลาด

ไม่เป็นเส้นตรงเคียงกัน และคินแยกออกเนื่องจากแรงดึง

ที่มา : วินิต ช่อวิเชียร และ วัฒนา ธรรมมมงคล (2532)



$$\text{สัดส่วนปลดภัยความลาด} \quad FS = \frac{R(\Sigma cl)}{(\Sigma cl)} \quad (2.7)$$

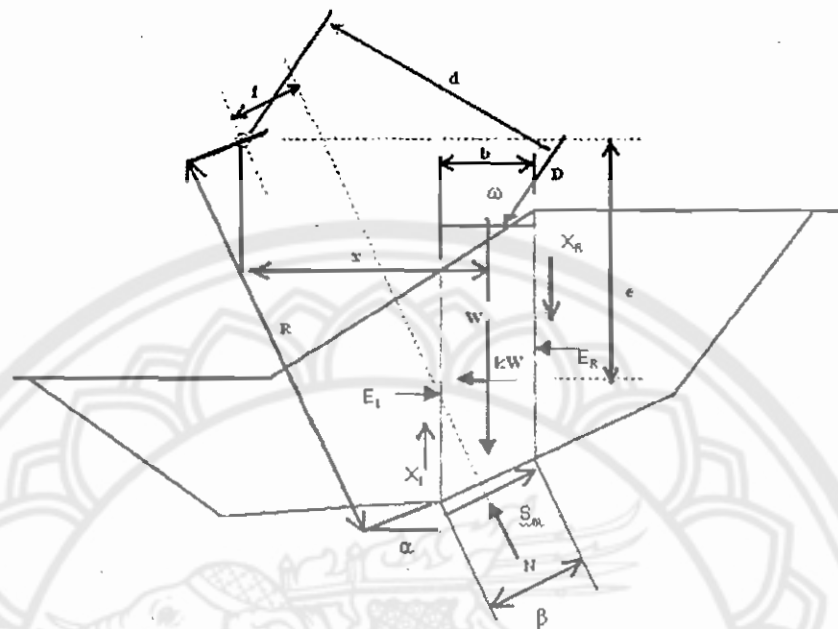
ถ้าเลือกส่วนโถงของวงกลมนี้มาอีกหลายแนว ก็คำนวณหาส่วนปลดภัยของความลาดได้ เช่นกัน ส่วนโถงของวงกลมที่ให้คำส่วนปลดภัยน้อยที่สุด จะเป็นแนวที่คินพังทลายลง

2.4.2.2 การวิเคราะห์เสถียรภาพความลาดวิธี Slice Method

ขั้นตอนการวิเคราะห์เบื้องต้นเริ่มจากการสมนติพื้นผิววัตติ (Failure Surface) และทำการแบ่งพื้นผิวนี้เป็นชิ้นส่วนแนวตั้ง (Slice) รูปที่ 2.10 แสดงสัญลักษณ์ตัวแปรแรงภายในและแรงภายนอก และคุณสมบัติทางเคมีต้องค้นหา สมมติฐานเบื้องต้นของการวิเคราะห์เสถียรภาพความลาดด้วยวิธี Slice Method มีดังนี้

1. คินเป็นวัสดุแบบ Rigid-Perfectly Plastic Material
2. เมื่อนำไปใช้วิบัติของ Mohr-Coulomb Failure Criterion
3. ค่าสัดส่วนความปลดภัยในส่วนของความเชื่อมแน่น (Cohesive component) และค่าสัดส่วนความปลดภัยในส่วนของแรงเสียดทาน (Frictional component) มีค่าเท่ากัน
4. ค่าสัดส่วนความปลดภัยในทุกๆ ชิ้นคินแนวตั้ง (Slice) มีค่าเท่ากัน

รูปที่ 2.10 แสดงสัญลักษณ์แรงภายในและแรงภายนอก และคุณสมบัติทางเรขาคณิตของคันลาก
ที่มา ปราโมทย์ ชินอา (2544)



เมื่อพิจารณาชิ้นคืนแนวคั่ง (Slice) ตัวแปรต่างๆซึ่งได้แก่แรงกระทำต่างๆที่เกิดขึ้นในแต่ละชิ้นแนวคั่ง ดำเนินการของแรงและนูนต่างๆซึ่งอยู่ในรูปที่ 2.10 มีดังนี้

- W = น้ำหนักทั้งหมดของชิ้นแนวคั่ง
- N = แรงตึงฉาก (Normal Force) ที่ฐานของชิ้นส่วนยื่อย
- E = แรงตึงฉาก (Normal Force) ที่ด้านข้างของชิ้นส่วนยื่อย
- X = แรงเฉือน (Shear Force) ที่ด้านข้างของชิ้นส่วนยื่อย
- D = แรงกระทำภายนอกแบบจุด (External point load)
- kW = แรงกระทำแนวราบเนื่องจากความสั่นสะเทือน (Seismic load)
- R = ระยะจากของแรง S_m กับจุดศูนย์กลาง
- f = ระยะจากของแรง N กับจุดศูนย์กลาง
- x = ระยะจากของแรง W กับจุดศูนย์กลาง
- e = ระยะจากของแรง kW กับจุดศูนย์กลาง
- d = ระยะจากของแรง D กับจุดศูนย์กลาง
- h = ความสูงเฉลี่ยของชิ้นส่วนยื่อย
- ω = นูนระหว่างเส้นเก็บนาฬิกา กับแรง D วัดตามเข็มนาฬิกาจากเส้นเก็บนาฬิกา
- α = นูนระหว่างแกน x กับแรง S_m วัดทางเข็มนาฬิกาจากแกน x
- β = ความยาวฐานของชิ้นส่วนแนวคั่ง
- λ = ค่าคูณของพิงค์ชั้นของแรงดันที่ระหว่างชิ้นแนวคั่ง $[X / E = \lambda \cdot f(x)]$

ปัญหาความลากที่วิเคราะห์จะสมมติเป็นแบบสองมิติ Plane Strain Condition นั้นคือความหนาของชั้นแนวคิ่งเท่ากับหนึ่งหน่วยความยาว และเมื่อใช้หลักสถิตศาสตร์ในการวิเคราะห์ รวมทั้งตั้งสมมติฐานเพิ่มเติมอีก ทำให้สามารถลดจำนวนตัวแปรไม่ทราบค่าของปัญหา ซึ่งจำนวนตัวแปรไม่ทราบค่าและเงื่อนไขต่างๆแสดงในตาราง 2.1 และ 2.2

ตารางที่ 2.1 จำนวนตัวแปรในการวิเคราะห์ถือรากพารามิตารวิธี Slice Method

จำนวนตัวแปรของระบบ	
คำอธิบาย	จำนวนตัวแปร
ขนาดของแรง N	N
คำเหนนงของแรง N	N
ขนาดของแรง E	$N-1$
คำเหนนงของแรง E	$N-1$
ขนาดของแรง X	$N-1$
คำเหนนงของแรง S_m	N
ค่าสัดส่วนความปลอดภัย(Factor of Safety, FS)	1
ค่า λ	1
จำนวนตัวแปรทั้งหมด	$6N-1$

ตารางที่ 2.2 จำนวนสมการในการวิเคราะห์ถือรากพารามิตารวิธี Slice Method

จำนวนสมการของระบบ	
คำอธิบาย	จำนวนสมการ
ผลรวมแรงตามแนวราบ ($\sum F_x = 0$)	N
ผลรวมแรงตามแนวคิ่ง ($\sum F_y = 0$)	N
ผลรวมโมเมนต์ ($\sum M = 0$)	N
สมการของวัสดุแบบ Mohr-Coulomb	N
คำเหนนงของแรง N ถูกสมมติให้อยู่ที่กลางฐานชั้นส่วนย่อย	N
ความสัมพันธ์ระหว่าง แรง E และแรง X	$N-1$
สมการทั้งหมด	$6N-1$

จากตารางที่ 2.1 และ 2.2 จะเห็นได้ว่าจากการคำนวณหาค่าสัดส่วนความปลดภัยสามารถทำได้โดยตั้งสมมติฐานเพิ่มเติม สมมติฐานที่นิยมใช้คือ ความสัมพันธ์ระหว่างแรง E และแรง X ความแตกต่างของวิธีอยู่ต่างๆ จะขึ้นอยู่กับสมมติฐานข้อนี้ และขึ้นอยู่กับสมการสติติกาสตร์ที่จะใช้ ค่าสัดส่วนความปลดภัยที่หาได้มีสองค่า คือสัดส่วนความปลดภัยที่ได้จากการสมมูลแรง และสัดส่วนความปลดภัยที่ได้จากการสมมูลโนเมนต์

สมการค่าสัดส่วนความปลดภัย

เมื่อพิจารณาสมการที่ (2.1) และสมการแรงเฉือนของคิน ให้เป็นไปข้อสมมติฐาน ที่ว่า ความสัมพันธ์ค่าสัดส่วนความปลดภัยในส่วนของความเชื่อมแน่น (Cohesive component) และค่าสัดส่วนความปลดภัยในส่วนของแรงเสียดทาน (Frictional component) มีค่าเท่ากันดังสมการที่ (2.9)

$$S_m = \frac{s\beta}{FS} = \frac{c\beta + (N - u\beta)\tan(\phi)}{FS} \quad (2.9)$$

สมการค่าสัดส่วนความปลดภัย จากการสมมูลโนเมนต์

พิจารณารูปที่ 2.10 ที่จุดศูนย์กลางของวงกลมที่กำหนดพื้นผิวบด ผลกระทบของโนเมนต์ในทุกๆ ชิ้นส่วน โดยให้โนเมนต์ตามเงื่อนไขการเป็นบวก แสดงดังสมการ (2.10)

$$\Sigma W \cdot x - \Sigma S_m R - \Sigma N \cdot f + \Sigma kW \cdot e \pm \Sigma D \cdot d = 0 \quad (2.10)$$

ตัวเลขสัดส่วนความปลดภัยหาได้โดยการแทนสมการที่ (2.9) ลงในสมการ (2.10) และจัดรูปแบบค่าสัดส่วนความปลดภัยจากสมมูลโนเมนต์ดังสมการที่ (2.11)

$$FS_m = \frac{\Sigma(c\beta R + (N - u\beta)R\tan(\phi))}{\Sigma W \cdot x - \Sigma N \cdot f + \Sigma kW \cdot e \pm \Sigma D \cdot d} \quad (2.11)$$

สมการค่าสัดส่วนความปลดภัยจากสมการสมมูลแรง

พิจารณารูปที่ 2.10 ผลกระทบของแรงแนวราบในทุกๆ ชิ้นส่วน แสดงในสมการ (2.12)

$$\Sigma(E_L - E_R) + \Sigma S_m \cdot \cos(\alpha) - \Sigma N \cdot \sin(\alpha) + \Sigma kW \pm \Sigma D \cdot \cos(\omega) = 0 \quad (2.12)$$

ตัวเลขสัดส่วนความปลดภัยหาได้โดยการแทนสมการที่ (2.9) ลงในสมการ (2.12) และจัดรูปแบบค่าสัดส่วนความปลดภัยจากสมมูลแรงดังสมการที่ (2.13)

$$FS_f = \frac{\Sigma(c\beta \cos(\alpha) + (N - u\beta)\tan(\phi)\cos(\alpha))}{\Sigma N \cdot \sin(\alpha) + \Sigma kW \pm \Sigma D \cdot \cos(\omega)} \quad (2.13)$$

สมการของแรง N

พิจารณารูปที่ 2.10 ผลรวมของแรงในแนวตั้งในชิ้นส่วนย่อยแสดงได้ดังสมการ (2.14)

$$-W + (X_L - X_R) + N \cos(\alpha) + S_m \sin(\alpha) + D \cdot \sin(\omega) = 0 \quad (2.14)$$

สมการของแรง N สามารถหาได้โดยแทนสมการที่ (2.9) ลงในสมการที่ (2.14) จะได้สมการที่ (2.15) ดังนี้

$$N = \frac{W + (X_R - X_L) + D \cdot \sin(\omega) + \frac{\beta \sin(\alpha)(c' - u \tan(\phi'))}{FS}}{\cos(\alpha) - \frac{\sin(\alpha \tan(\phi'))}{FS}} \quad (2.15)$$

สมการของแรงลักษณะระหว่างชิ้นส่วนเดิน

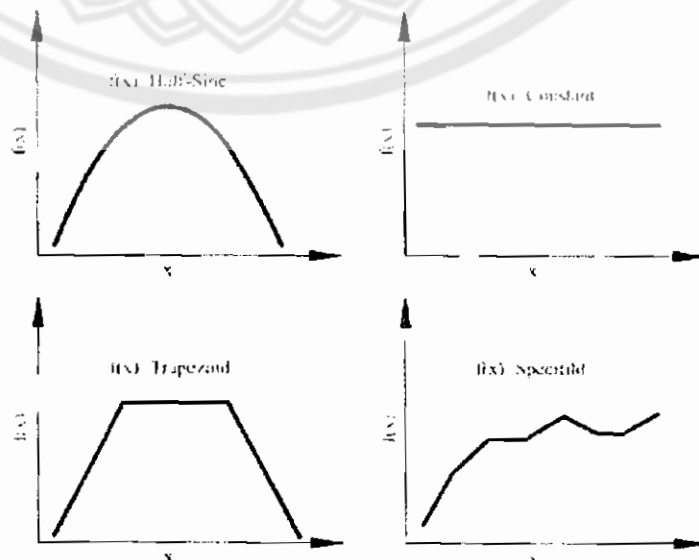
ความสัมพันธ์ของแรง X และแรง E เป็นสิ่งที่ต้องสมนคิดขึ้นเพื่อให้สามารถวิเคราะห์เสถียรภาพของความลากและคำนวณค่าสัดส่วนความปลดปล่อยได้ ดังที่กล่าวมาแล้วความสัมพันธ์ของแรง X และแรง E จะสมนติให้อยู่ในรูปฟังก์ชันทางคณิตศาสตร์และตัวคูณเลขจำนวนจริง ดังแสดงในสมการที่ (2.16) คือ

$$X = \lambda \cdot f(x) \cdot E \quad (2.16)$$

โดย λ = ตัวคูณเลขจำนวนจริง

$f(x)$ = ฟังก์ชันคณิตศาสตร์ที่กำหนดความชันของแรงลักษณะระหว่างแรง X และแรง E

รูปที่ 2.11 แสดงลักษณะของฟังก์ชัน $f(x)$ บางรูปแบบที่นิยมใช้ในการวิเคราะห์เสถียรภาพความลากด้วยวิธี Morgenstern & Price's (1965)
ที่มา ปรามณฑ์ ชิน酵 (2544)



รูปที่ 2.11 แสดงลักษณะของฟังก์ชัน $f(x)$ บางรูปแบบที่นิยมใช้ในทางปฏิบัติ เมื่อพิจารณา
รูปที่ 2.10 ผลรวมแรงของลักษณะแนวโน้มของชิ้นส่วนคินหนึ่งๆแสดงได้ดังสมการที่ (2.17) คือ

$$(E_L - E_R) - N \sin \alpha + S_w \cos \alpha - kW + D \cos \omega = 0 \quad (2.17)$$

เมื่อขั้นตอนที่สมการ (2.17) ต่อคดีต้องกับสมการอนุจัจงแทนสมการที่ (2.9) ลงในสมการที่ (2.17) จะได้สมการที่ (2.18) ดังนี้

$$E_R = E_L - kW + D \cos \omega + N \sin \alpha + \frac{\cos \alpha (c \beta + (N - u \beta) \tan \phi)}{FS} \quad (2.18)$$

สมการที่กล่าวมาในบทนี้เป็นสมการพื้นฐานที่ใช้ในการวิเคราะห์เสถียรภาพของความลาม
ด้วยวิธี Slice Method สำหรับวิธีอย่างใดๆก็ล้วนแล้วแต่ใช้สมการพื้นฐานเหล่านี้ในการคำนวณทั้งสิ้น
ประโยชน์และความสำคัญของสมการจะแสดงลำดับการใช้งานดังนี้

สมการแรง N หรือสมการที่ (2.15) เป็นสมการแรกที่ต้องทำการคำนวณ โดยรูปของสมการ
นี้จะแปรเปลี่ยนไปตามสมมติฐานของแรงดึงด้านข้างของชิ้นส่วนย่อย และหรือแปรเปลี่ยนไป
ตามสมมติฐานระหว่างแรง X และแรง E

สมการของแรงด้านข้างระหว่างชิ้นส่วนคิน หรือสมการที่ (2.16) และสมการที่ (2.18)
ประโยชน์ของทั้งสองสมการนี้ไว้เพื่อช่วยประยุกต์สมการที่ (2.15) โดยจัดให้ทั้งสองสมการ
เป็นไปตามข้อสมมติฐานของแรงด้านข้างชิ้นส่วนย่อย และตามสมมติฐานระหว่างแรง X และแรง
 E จากนั้นจึงนำไปแทนในสมการที่ (2.15) เพื่อกำจัดพจน์ $(X_R - X_L)$

สมการค่าสัมประสิทธิ์ความปลดภัยจากสมคูลไมเมนต์หรือสมการที่ (2.11) เมื่อคำนวณค่าแรง
 N ของทุกๆชิ้นส่วนคินแล้วจึงสามารถคำนวณค่าสัมประสิทธิ์ความปลดภัยจากสมคูลไมเมนต์

สมการค่าสัมประสิทธิ์ความปลดภัยจากสมคูลแรงหรือสมการที่ (2.13) เมื่อคำนวณค่าแรง N
ของทุกๆชิ้นส่วนคินแล้วจึงสามารถคำนวณค่าสัมประสิทธิ์ความปลดภัยจากสมคูลแรง

ในหัวข้อถัดไปจะแสดงขั้นตอนและวิธีการคำนวณของวิธีย่อต่างๆโดยจะอธิบายถึง
สมมติฐานเบื้องต้น รูปสมการของแรง N ที่แตกต่างกันไปในแต่ละวิธีย่อย

Fellenius

วิธี Fellenius (1927) หรือวิธี Ordinary Method of Slice (1936) หรือ Swedish's Method เสนอโดย Fellenius (1927) ในปี ค.ศ. 1927 เป็นวิธีที่ง่ายที่สุดสำหรับวิเคราะห์เสถียรภาพของความลาด โดยคำนึงถึงส่วนประกอบภัยได้จากสมการสามคุณไม่men's และตั้งสมมติฐานว่า ทิศทางแรงลัพธ์ของแรงด้านข้างระหว่างในชั้นดังจะนานกับฐานของชั้นดังคงแสดงในรูป 2.12 โดยทั่วไปจะสมมติให้พื้นผิวบดเป็นส่วนโถงของวงกลม อย่างไรก็ตาม พื้นผิวบดในรูปแบบอื่นก็สามารถคำนวณได้

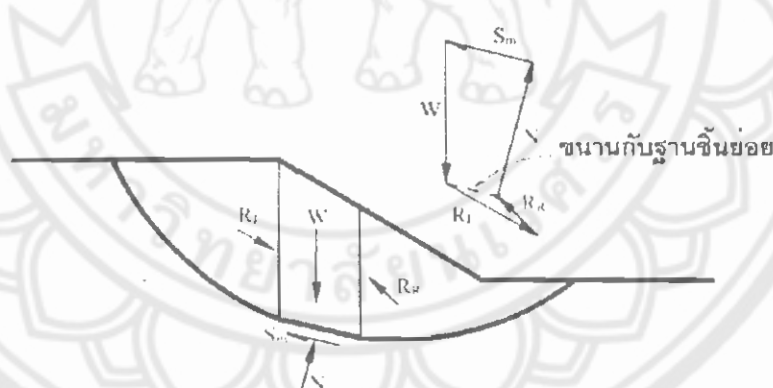
เมื่อพิจารณาสามคุณของแรงในทิศทางตั้งฉากกับฐานของชั้นดัง จะสามารถหาสมการของแรง N ได้ดังนี้

$$N = W \cos \alpha - kW \sin \alpha + D \cos(\alpha + \omega + 90) \quad (2.19)$$

เมื่อได้ค่าของแรง N แล้วขั้นต่อไป คือ นำค่า N ไปแทนในสมการคำนึงถึงส่วนประกอบภัยจากสมคุณไมemen's หรือสมการที่ 2.17

รูป 2.12 สมมติฐานทิศทางแรงลัพธ์ของแรงด้านข้างระหว่างในชั้นดังจะนานกับฐานของชั้นดังในวิธี Fellenius (1927)

ที่มา ปรามณฑ์ ชินเอ (2544)



Bishop's Simplified Method (1955)

วิธีนี้เสนอโดย Bishop ในปี ค.ศ. 1955 โดยทั่วไปจะสมมติให้พื้นผิวบดเป็นส่วนโถงของวงกลม แต่พื้นผิวบดในรูปแบบอื่นก็สามารถคำนวณได้ คำนึงถึงส่วนประกอบภัยได้จากสมการสามคุณไมemen's ข้อสมบัติของวิธีนี้คือ แรงลัพธ์ด้านข้างระหว่างชั้นดินมีเพียงแรง E หรือ กล่าวอีกนัยหนึ่งคือ แรงเฉือนด้านข้างระหว่างชั้นดิน $X = 0$ เมื่อพิจารณาสมการที่ 2.15 จะสามารถแปลงสมการของแรง N สำหรับวิธี Bishop's Simplified ได้ดังสมการที่ 2.20

$$N = \frac{W + D \sin \omega + \frac{\beta \sin(\alpha)(c' - u \tan(\phi'))}{FS}}{\cos(\alpha) - \frac{\sin(\alpha) \tan(\phi')}{FS}} \quad (2.20)$$

สังเกตได้ว่าในสมการที่ 2.20 ยังมีตัวแปรไม่ทราบค่าอยู่ด้วยคือ FS หรือค่าสัดส่วนปลอดภัย ซึ่งจำเป็นต้องทำการสมนติค่าตัวเลขบางตัวขึ้นมาเพื่อให้คำนวณได้ เมื่อได้ค่าแรง N จากการสมนติ FS แล้ว ขั้นตอนต่อไป คือ นำค่า N ไปแทนในสมการค่าสัดส่วนปลอดภัยจากสมการสมดุลโนเมนต์ หรือสมการที่ 2.11 คำนวณจะถูกต้องเมื่อ ค่า FS ที่สมนติไว้เริ่มต้น มีค่าเท่ากับสัดส่วนปลอดภัยที่ได้จากสมการสมดุลโนเมนต์

Spencer's Method (1967)

วิธีนี้นำเสนอโดย Spencer ในปี พ.ศ. 1967 โดยในขณะนั้นใช้เพื่อวิเคราะห์พื้นผิวการวินิจฉัย เป็นส่วนโถงของวงกลมแต่ต่อมาก็นำมาวิเคราะห์รูปแบบการวินิจฉัยนั้นๆ ค่าสัดส่วนปลอดภัยได้จากสมการสมดุลโนเมนต์และสมการสมดุลแรง สมมติฐานของวิธีนี้คือความร้อนของแรงล้ำพ้นของแรง X และแรง E มีค่าเท่ากันในทุกๆ ชั้นคั่ง จากสมการที่ 2.16 เมื่อค่า $f(x) = 1$ จะได้สมการความสัมพันธ์ของแรง x และ E ดังนี้

$$X/E = \tan \theta \quad (2.21)$$

สมการ 2.15 สามารถเปลี่ยนรูปให้สอดคล้องกับสมการที่ 2.21 ได้ดังนี้

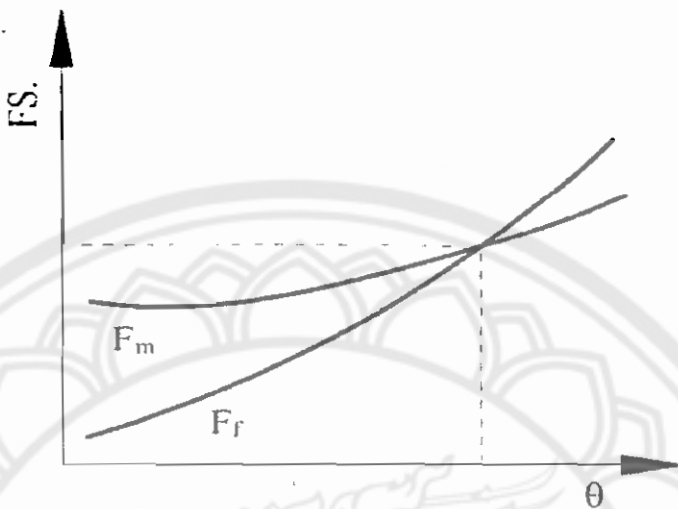
$$N = \frac{W + (E_R - E_L) \tan \theta + D \sin(\omega) + \frac{\beta \sin(\alpha)(c' - u \tan(\phi'))}{FS}}{\cos(\alpha) - \frac{\sin(\alpha) \tan(\phi')}{FS}} \quad (2.22)$$

เมื่อพิจารณาสมการที่ 2.22 พจน์ E_R สมการแทนได้โดยสมการที่ 2.18 ดังนั้น จึงสามารถหาค่าแรง N ได้ โดยจำเป็นต้องสมมติค่า θ และ FS ขึ้นมาก่อนจากนั้นจึงนำไปแทนในสมการที่ 2.11 และสมการที่ 2.13 โดยขั้นตอนทั่วไปต้องสมมติ θ ก่อน จากนั้นจึงสมมติ FS ซึ่งจะทำให้ได้ค่า F_f และ F_m ซึ่งค่าสมมติ θ ที่เหมาะสมจะทำให้ได้ค่า F_f และ ค่า F_m เท่ากันดังรูปที่ 2.13

รูปที่ 2.13 ค่าความสัมพันธ์ระหว่างอัตราส่วนความปลอดภัยและค่า θ ใน

การวิเคราะห์วิชี Spencer's Method (1967)

ที่มา ปรานีกษ์ จินเจา (2544)



2.11 Morgenstern & Price's Method (1965)

วิธีนี้เสนอโดย Morgenstern และ Price ในปี ก.ศ. 1965 โดยสมมติฐานว่าแรงที่เกิดขึ้นบนระบบวิบัติจะต้องค่อเนื่องกันเป็นอย่างดี หรือหากถ้าได้อีกนัยหนึ่งว่าดินคลอดพื้นผิววิบัติจะต้องเป็นวัสดุที่เปลี่ยนแปลงค่อเนื่องกันเป็นอย่างดี สมมติฐานของแรงลัพธ์ของชั้นดินแนวคือ ความชันของแรงลัพธ์ของแรงต้านข้างของชั้นย่อยแปรผันไปตามฟังก์ชันที่กำหนดให้ล่างหน้า ซึ่งเป็นฟังก์ชันคณิตศาสตร์ใดๆ โดยสามารถแสดงได้ดังสมการ 2.23

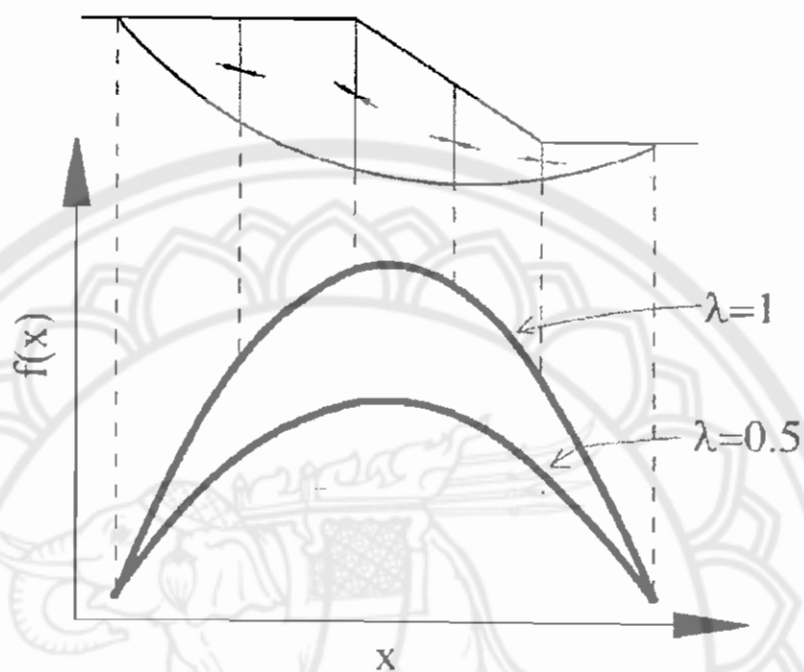
$$X \cdot E = \lambda f(x) \quad (2.23)$$

สมการที่ (2.15) สามารถประยุกต์ให้สอดคล้องกับสมการที่ (2.23) ได้ดังนี้

$$N = \frac{W + (E_R \lambda f(x) - E_L \lambda f(x)) + \sin(\omega) + \frac{\beta \sin(\alpha)(c' - u \tan(\phi'))}{FS}}{\cos(\alpha) - \frac{\sin(\alpha) \tan(\phi')}{FS}} \quad (2.24)$$

พิจารณาสมการที่ 2.22 พจน์ E_R สามารถแทนได้โดยสมการที่ 2.18 ดังนั้นจึงสามารถหาค่าแรงของแรง N ได้ โดยจำเป็นต้องสมมติค่า λ และค่า FS จากนั้นจึงนำไปแทนในสมการที่ 2.11 และสมการที่ 2.13 โดยขั้นตอนทั่วไปต้องสมมติ λ ก่อน จากนั้นจึงสมมติ FS ซึ่งจะทำให้ได้ค่า F_f และ F_m ซึ่งค่าสมมติ λ ที่เหมาะสมจะทำให้ได้ค่า F_f และ F_m เท่ากัน รูปที่ 2.11 แสดงตัวอย่างค่าความชัน ค่าฟังก์ชัน และค่า λ สำหรับวิเคราะห์ด้วยวิชี Morgenstern & Price

รูปที่ 2.14 ค่าความชัน ค่าฟังก์ชัน และค่า λ สำหรับวิเคราะห์ด้วยวิธี Morgenstern & Price
ที่มา ปราไมท์ ขันเจา (2544)



2.5 หลักการพื้นฐานของวิธีไฟไนต์อิลิเมนต์

2.5.1 นิยามของไฟไนต์อิลิเมนต์ (Finite Element)

วิธีไฟไนต์อิลิเมนต์ (Finite Element) เริ่มจากการสมมติสมการที่นำมาพิจารณาซึ่งเป็นสมการต่อเนื่อง สามารถที่จะกำหนดความสัมพันธ์ให้อยู่ในรูปของอนุกรม (Series) โดยจำนวนของอิลิเมนต์ (Element) จะถูกแบ่งเป็นช่วงๆ ซึ่งจำนวนของอิลิเมนต์ (Element) ที่นำมาต่อกันจนมีจำนวนมากที่เรียกว่า จำนวนอนันต์ (Infinity) เพื่อให้ได้ค่าตอบที่ได้นั้นถูกต้อง

- การกำหนดช่วงของฟังก์ชัน จะถูกแบ่งออกเป็นส่วนย่อยๆ เรียกว่า อิลิเมนต์ (Element)
- จุดที่กำหนดตำแหน่ง ของอิลิเมนต์(Element)เรียกว่า จุดข้า (Node)
- โดยที่ฟังก์ชันที่ใช้ควบคุมตำแหน่งของจุดข้า (Node) คือ เอกซ์พิลิคิตฟังก์ชัน (Explicit Function)

ซึ่งตัวแปรต่างๆ ของจุดข้าจะเป็นตัวที่แสดงความสัมพันธ์ ระหว่าง อิลิเมนต์ (Element) ตัวแปรของจุดข้าจะมีการอ้างอิงถึง ค่าองศาเตอร์ (Degrees of freedom) ในเทอมของตัวแปรจะประยุกต์ กับการพิจารณาหาค่าความเดิน ซึ่งจะอยู่ในเทอมของตัวแปรของโหนดที่มีการเปลี่ยนแปลงรูปไป ของโครงสร้าง อย่างไรก็ตามจะ ได้ว่าเมื่อการพิจารณาเพื่อหาความสัมพันธ์จะ ไร้ความกึ่งกลาง เมื่อเปลี่ยนรูปตัวแปรของโหนด

1. หลักการเชื่อมโยงจุด ในสมการ 2 มิติ และ 3 มิติ จะต้องการความสัมพันธ์ระหว่าง ฟังก์ชันการประมาณค่า (Interpolation) ซึ่งจะออกมาในเทอมของค่าจุดข้า โดยฟังก์ชันประมาณค่า จะถูกอ้างมาจากการของรูปร่าง (Shape Functions) สำหรับชิ้นส่วนย่อย(Element) ที่อยู่ในระบบ การกำหนดตำแหน่ง X , Y สามารถหาการเปลี่ยนแปลงตำแหน่ง ได้จากสมการ

$$d(x, y) = \sum_{i=1}^4 N_i(x, y).d_i \quad (2.25)$$

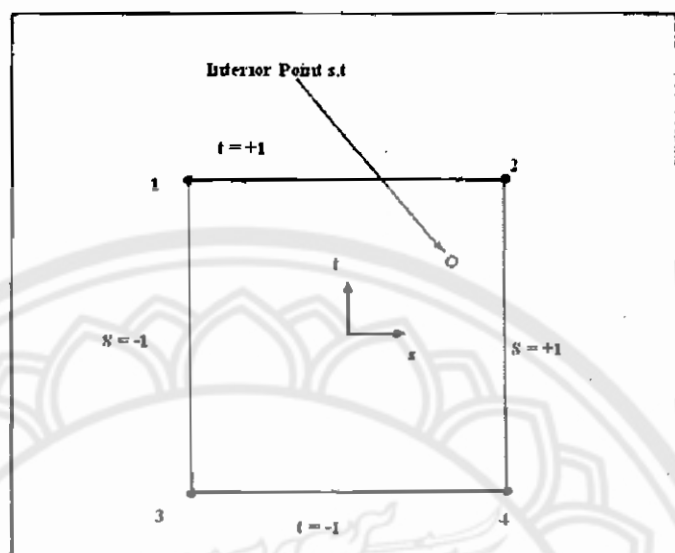
เมื่อ ระยะทาง $d(x, y)$ = การเปลี่ยนแปลงตำแหน่งอ้างอิงกับตำแหน่งโลกบอด (Global)

$$\begin{aligned} d_i &= \text{ระยะการเปลี่ยนแปลงตำแหน่งของจุดข้า (Node)} \\ N_i(x, y) &= \text{ฟังก์ชันรูปร่างของจุดข้าและพิกัด } x, y \end{aligned}$$

ในทางปฏิบัติของวิธีไฟไนต์อิลิเมนต์ การสร้างตำแหน่งจะไม่มีสีเหลี่ยมจัตุรัสที่แท้จริง หรือรูปสามเหลี่ยมที่แท้จริง ทั้งนี้เนื่องจากการปรับปรุงชิ้นส่วนย่อยให้เข้ากับรูปร่างของปัญหาที่ทำ การวิเคราะห์ จึงต้องพยายาม หาสมการที่จะครอบคลุมทุกๆ ลักษณะ ระบบตำแหน่งอ้างอิงที่อิลิเมนต์ (Local Coordinate System) จะแสดงให้ครุภูมิที่ 2.15 แต่ในท้ายที่สุดสามารถเพียงตำแหน่งให้ อ้างอิงที่ตำแหน่งรวม (Global Coordinate System) ดังภาพที่ 2.16

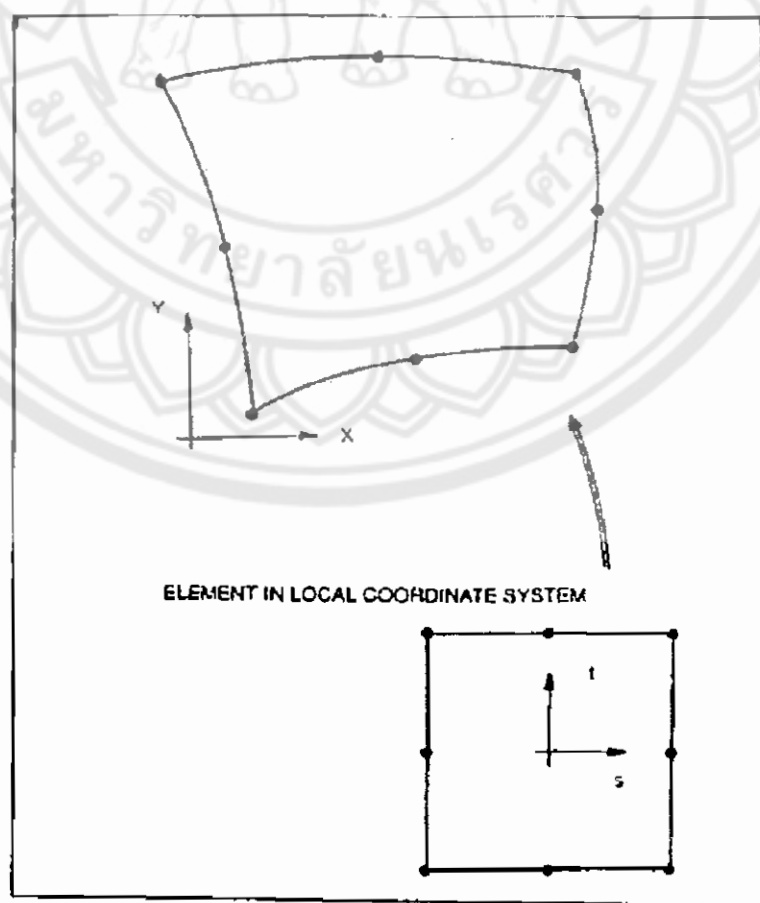
รูปที่ 2.15 แสดงรูปอ้างอิงคำแนะนำที่อิลิเมนต์

ที่มา ศุภชัย ธรรมกูลทรัพย์ทวี (2548)



รูปที่ 2.16 แสดงภาพคำแนะนำที่อ้างอิงที่จุดรวม

ที่มา ศุภชัย ธรรมกูลทรัพย์ทวี (2548)



ก
๐๖
๒๕๗๙
๑๗๔
๕๒๓๖๗
๑๘๗

๑๓๙๑๔๒๒๗



จากทั้งสองลักษณะไม่น่า 2 มิติ หรือ 3 มิติสามารถที่จะกำหนดโครงสร้างได้โดยรูปแบบ
จัตุรัส หรือ ปริซึม ที่สำคัญคือหากมีการกำหนดจุดขึ้นในชิ้นส่วนย่อย จะต้องใช้สมการเพื่อเขียน
อยู่ในรูปของตำแหน่งรวม(Global Coordinate) ได้

สานักหัวหน้า
- ๓ เม.ย. ๒๕๕๑

$$N(s,t) = \sum_{i=1}^n N'_i(s,t) \cdot x_j \quad (2.26)$$

เมื่อ

$X(s,t)$ = ตำแหน่งอ้างอิงที่จุด s,t

N = จำนวนของจุดขึ้น (Node)

$N'_i(s,t)$ = พิกัดขั้นโครงสร้างของจุดขึ้นใดๆ

x_j = ตำแหน่ง X ของจุดขึ้นใดๆ

และในทำนองเดียวกันการกำหนดตำแหน่ง y คือ

$$Y(s,t) = \sum_{i=1}^n N'_i(s,t) \cdot y_i \quad (2.27)$$

การกำหนดการเชื่อมโยงของอิเลเมนต์ (Element) จะใช้สมการเดียวกันเพื่อที่จะใช้สร้าง
โครงสร้างให้อยู่ในตัวแปรของจุดขึ้น (Node) เช่น

$$N'(s,t) = N(s,t) \quad (2.28)$$

3. การเชื่อมโยงพิกัดขั้นรูปร่าง สำหรับระบบสองมิติ นูนของอิเลเมนต์ (Element) ที่เป็นจุด
ขึ้นดังแสดงในรูปที่ 2.17 โดยการเชื่อมโยงสามารถใช้ความสัมพันธ์

$$N_1 = \frac{1}{4}(1-S)(1-t) \quad (2.29)$$

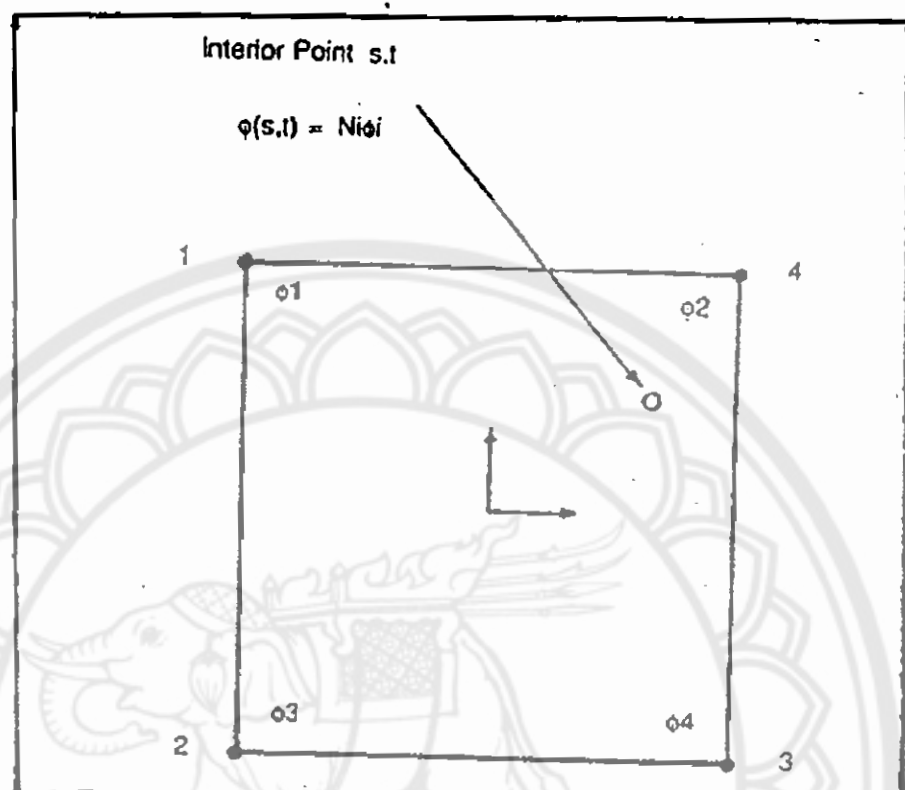
$$N_2 = \frac{1}{4}(1-S)(1+t) \quad (2.30)$$

$$N_3 = \frac{1}{4}(1+S)(1-t) \quad (2.31)$$

$$N_4 = \frac{1}{4}(1+S)(1+t) \quad (2.32)$$

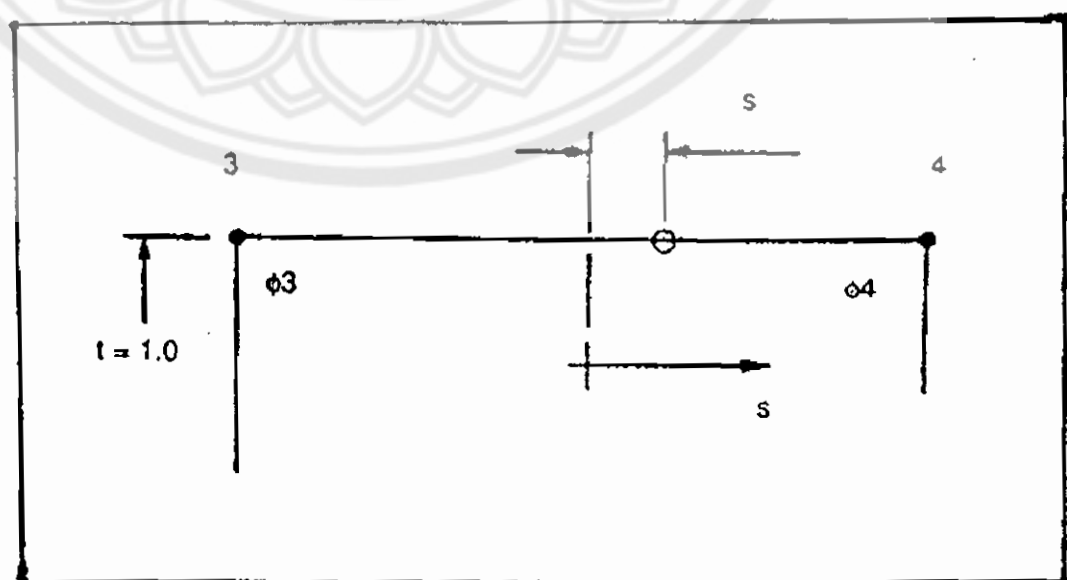
รูปที่ 2.17 แสดงชิ้นส่วนย่ออยในระบบ 2 มิติ

ที่มา ศุภชัย ตระกูลทรัพย์ทวี (2548)



รูปที่ 2.18 การประมาณค่าในทิศทาง

ที่มา ศุภชัย ตระกูลทรัพย์ทวี (2548)



โดยทั่วๆ ไปจะไม่สนใจใน พิงค์ชั้นรูปร่าง ทั้งหมดคือพิงค์ชั้นรูปร่างหลายเทอม (Linear Polynomial Functions) ที่อาศัยค่าของจุดข้าวที่ตำแหน่งนุ่มนิ่มของอิลิเมนต์ (Element) ซึ่งสามารถที่จะแสดงความสัมพันธ์ของทิศทาง s ตลอดชิ้นส่วนย่อย ดังรูปที่ 2.18 ให้ค่า t=1 ระหว่างจุดข้าว 3 และจุดข้าวที่ 4 จะทำให้พิงค์ชั้นรูปร่าง (Shape Function) ได้เป็น

$$N_3 = \frac{1}{2}(1+S) \quad (2.33)$$

$$N_4 = \frac{1}{2}(1-S) \quad (2.34)$$

4. ความดัน , ความเครียดและสมการความแข็งแรง (Stress, Strain and Stiffness Formulation) จากอิลิเมนต์ (Element) ที่อยู่ในระบบ 2 มิติ ค่าความเครียด (Strain) บนจุดใดๆที่เกิดในอิลิเมนต์ (Element) โดยเวกเตอร์ (Vector) ของความเครียด (Strain Vector)

$$\{\varepsilon\} = \begin{bmatrix} \varepsilon_x \\ \varepsilon_y \\ \varepsilon_{xy} \end{bmatrix} \quad (2.35)$$

$$\varepsilon_x = \text{ความเครียดในทิศทางของแกน } x = \frac{\partial u}{\partial x}$$

$$\varepsilon_y = \text{ความเครียดในทิศทางของแกน } y = \frac{\partial u}{\partial y}$$

$$\varepsilon_{xy} = \text{ความเครียดเนื่องจากแรงเฉือน (Shear Strain) ในระนาบ } x-y = \frac{\partial u}{\partial x} + \frac{\partial u}{\partial y}$$

พิงค์ชั้นรูปร่างที่ได้มาจากการคิด (Derivatives) ที่พิจารณาถึงการเคลื่อนที่ของจุดข้าว (Node Displacement)

$$\varepsilon_x = \frac{du}{dx} = \frac{d}{dx} \left[\sum_{i=1}^n N_i u_i \right] \quad (2.36)$$

ความเครียดในทิศทาง y และความเครียดเนื่องจากแรงเฉือน สามารถจะเลียนแบบวิธีจากความเครียดในทิศทาง x

ในการคำนวณค่าความเครียดสามารถแสดงในรูปของเมตริกได้

$$\{\varepsilon\} = \begin{bmatrix} dN_1 / dx \dots dN_n / dx & 00 \dots 00 \\ 000 \dots 00 & dN_1 / dy \dots dN_n / dy \\ dN_1 / dy \dots dN_n / dy & dN_1 / dx \dots dN_n / dx \end{bmatrix} \begin{Bmatrix} u_1 \\ \vdots \\ u_n \\ v_1 \\ \vdots \\ v_n \end{Bmatrix} \quad (2.37)$$

เมตริกของฟังก์ชันรูปร่าง และอ้างอิงที่จุดรวม คือเมตริกแล้วมีการอ้างถึงเมตริกของระยะ การเคลื่อน หรือ อาจจะเขียนได้ว่า

$$\{\varepsilon\} = [B]\{d\} \quad (2.38)$$

ความดัน(Stress) และความเครียด (Strain) สามารถที่จะแสดงความสัมพันธ์จากเมตริก ยืดหยุ่น (Elastic Matrix)[D]

$$\{\sigma\} = [D]\{\varepsilon\} \quad (2.39)$$

จากระบบสองมิติ ระบบความดัน (Plane Stress) และวัสดุที่มีคุณสมบัติของวัสดุที่มีค่าเท่ากันทุกทิศทาง (Isotropic Materials) สามารถนำมาเขียนให้อยู่ในรูปของเมตริกยืดหยุ่น (Elasticity Matrix)

$$[D] = \frac{E}{1-\mu^2} \begin{bmatrix} 1 & \mu & 0 \\ \mu & 1 & 0 \\ 0 & 0 & (1-\mu)/2 \end{bmatrix} \quad (2.40)$$

$$\text{หรือ } [D] = \frac{E(1-\mu)}{(1+\mu)(1-2\mu)} \begin{bmatrix} 1 & \mu/(1-\mu) & 0 \\ \mu/(1-\mu) & 1 & 0 \\ 0 & 0 & (1-2\mu)/2(1-\mu) \end{bmatrix}$$

จะได้เมตริกความดัน

$$\{\sigma\} = [D][B]\{d\} \quad (2.41)$$

เมตริกความแข็งแรงของระบบสองมิติจะมีค่าเท่ากับ การอินทิเกรตผลลัพธ์ของเมตริก $[B]^T$ เมตริก $[D]$ และเมตริก $[B]$

$$[K] = \int [B]^T [D][B] \, dx dy \quad (2.42)$$

เมื่อ $[K]$ คือเมตริกความแข็งแรงในอิเลเมนต์ (Element) และความสัมพันธ์ระหว่างเมตริก ความแข็งแรง, การประยุกต์แรง, และการเคลื่อนที่ของจุดข้าม

$$[K]\{d\} = \{F\} \quad (2.43)$$

5. สมการของการรวมอลิเมนต์ และผลลัพธ์ (Element Equation Assembly and Solution) มีสองวิธีที่นิยมใช้กันๆ ไปในการรวมชิ้นส่วนย่อยและ หาค่าผลลัพธ์ของเมตริก

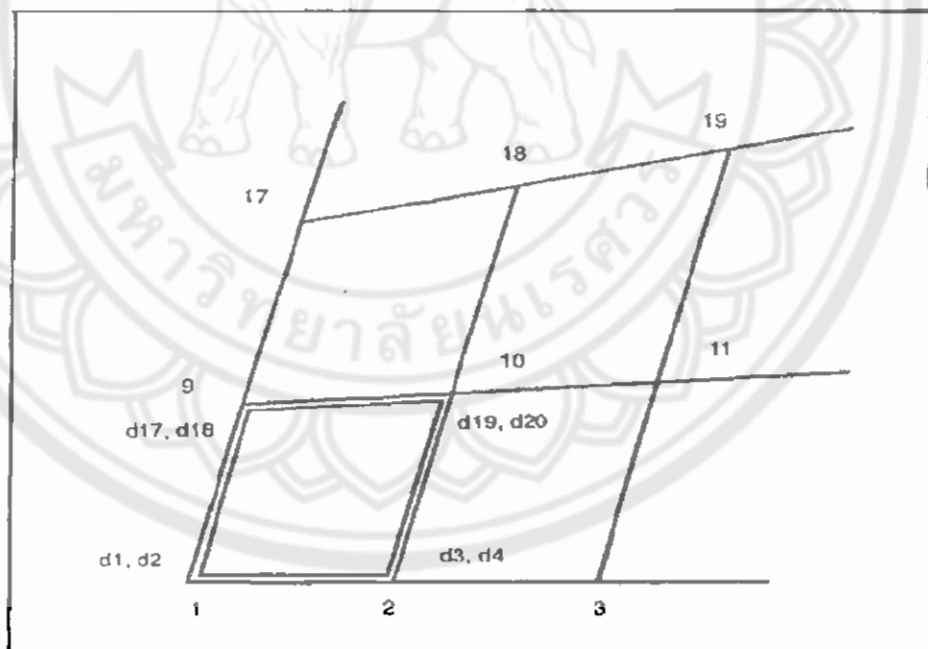
5.1 สมการแบบแบนด์ (Banded Equation) จะเป็นวิธีการรวมเมตริกความแข็งของแต่ละอลิเมนต์ (Element) ลงบนเมตริกแข็งรวมที่อ้างอิงที่ๆ ครุวน (Global Stiffness Matrix)

ชิ้นส่วนค่างๆ จะมีการกำหนดค่าองศาสรี (Degree of Freedom) เช่น ในรูปที่ 2.19 ที่ๆ ข้า 1, 2, 10, 9 (องศาสรี 1, 2, 3, 4, 19, 29, 17, 18) ค่าสัมประสิทธิ์ในແຄວที่ 1 หลักที่ 7 ซึ่งอยู่ในช่วงความสัมพันธ์ระหว่างแรงที่คำแห่งองศาสรีที่ 1 และ ระยะการเปลี่ยนแปลงคำแห่งองศาสรีที่ 7

ในการอ้างอิงที่ระบบโลกบอด (Global System) ความสัมพันธ์ของๆ ข้าที่ 1 ในทิศทางแกน x และๆ ข้า 9 ในทิศทาง x (องศาสรีที่ 17) โดยสัมประสิทธิ์จะเป็นตัวที่บันอกถึงการรวมเมตริกในແຄວที่ 1 หลักที่ 17

รูปที่ 2.19 แสดงคำแห่งของๆ ข้าที่ 1

ที่มา ศุภชัย ประภูมิพิทักษ์ (2548)



$$\begin{bmatrix} k_{1,1} & k_{1,2} & k_{1,3} & k_{1,4} & k_{1,19} & k_{1,20} & k_{1,17} & k_{1,18} \\ k_{2,1} & k_{2,2} & k_{2,3} & k_{2,4} & k_{2,19} & k_{2,20} & k_{2,17} & k_{2,18} \\ \dots & & & & & & & \\ \dots & & & & & & & \\ k_{18,1} & k_{18,2} & k_{18,3} & k_{18,4} & k_{18,19} & k_{18,20} & k_{18,17} & k_{18,18} \end{bmatrix} \begin{Bmatrix} d_1 \\ d_2 \\ \dots \\ \dots \\ d_{16} \end{Bmatrix} = \begin{Bmatrix} F_1 \\ F_2 \\ \dots \\ \dots \\ F_{16} \end{Bmatrix} \quad (2.44)$$

เมคริกความแข็งแรงจะมีส่องคุณสมบัติที่มีความสำคัญ ต่อขั้นตอนของการหาค่าผลลัพธ์

ชั้นปี๑แก่

- เมตริกสมดุลในแนวทแยง เช่น $k_{1,17} = k_{17,1}$
 - เมตริกที่ไม่มีค่าลบ (Positive Definite) เช่น ไม่มีสามาชิกในแนวทแยงที่มีค่าเป็นลบ และศูนย์ จากเมตริกเดิม และลักษณะเป็น

ในการหาตัวตนกลับของ เมตริกของเมตริกความแข็งแรง จะทำได้ยังไงเมื่อครูป์ของเมตริกโดยทำให้สมาชิกได้แนวทางแยกมีค่าเป็นศูนย์ จากเมตริกเดิม

$$\begin{bmatrix} k_{11} & k_{12} & k_{13} & k_{14} & k_{15} \\ k_{21} & k_{22} & k_{23} & k_{24} & k_{25} \\ k_{31} & k_{32} & k_{33} & k_{34} & k_{35} \\ k_{41} & k_{42} & k_{43} & k_{44} & k_{45} \\ k_{51} & k_{52} & k_{53} & k_{54} & k_{55} \end{bmatrix} \begin{Bmatrix} d_1 \\ d_2 \\ d_3 \\ d_4 \\ d_5 \end{Bmatrix} = \begin{Bmatrix} F_1 \\ F_2 \\ F_3 \\ F_4 \\ F_5 \end{Bmatrix} \quad (2.45)$$

$$\begin{bmatrix} k_{11} & k_{12} & k_{13} & k_{14} & k_{15} \\ 0 & k_{22} & k_{23} & k_{24} & k_{25} \\ 0 & 0 & k_{33} & k_{34} & k_{35} \\ 0 & 0 & 0 & k_{44} & k_{45} \\ 0 & 0 & 0 & 0 & k_{55} \end{bmatrix} \begin{Bmatrix} d_1 \\ d_2 \\ d_3 \\ d_4 \\ d_5 \end{Bmatrix} = \begin{Bmatrix} F_1 \\ F_2 \\ F_3 \\ F_4 \\ F_5 \end{Bmatrix} \quad (2.46)$$

ระบบของการเคลื่อนตัวสามารถที่จะสังเกตได้จาก ระบบของสมการ โดยทำการสมการค้านล่างขึ้นไป (Back - Substitution) ซึ่งสมการห้ามสูดจะมีตัวแปรที่ไม่ทราบค่า (Unknown) เพียงตัวเดียวจึงสามารถแก้ไขหาค่าได้ เช่น

$$d_5 = F_5^{'} / k_{55}^{'} \quad (2.47)$$

บรรทัดที่สองนับจากบรรทัดล่างสุดจะมีตัวที่ไม่ทราบค่า (d_4, d_5) แต่ d_5 หาค่ามาแล้วจากที่ผ่านมาจึงทำให้สามารถที่จะหาค่า d_4 ได้ทำลักษณะเดิมໄล่จากล่างขึ้นไปด้านบนก็สามารถที่จะแก้หาค่า d_1, d_2, d_3, d_4, d_5 ทั้งหมด

5.2 สมการของพรอนต์ทอล (Frontal Equation) วิธีการนี้จะรวมเมตริกย่อยลงบนเมตริก รวม และแก้ไขหาค่าตัวแปรไปพร้อมๆกัน มันจึงมีผลดีต่อการประมวลผล เพราะจะไม่ต้องการ หน่วยความจำ (Memory) ในการคำนวณโดยวนลูป (Loop) ของการประมวลผล จะเท่ากับ จำนวนของอิลิเมนต์ (Element) และ จะมีขั้นตอนของการตรวจสอบค่าองศาเสรี (Degree of Freedom) ตัวแปรที่สำคัญในการปรับปรุงรูปร่างจำลอง (Model) เพื่อแก้ไขโดยวิธีพรอนต์ทอล คือ จำนวนของชั้นส่วนย่อย ค่าตัวแปรจะมีค่าน้อยที่สุด ดังในความแตกต่างของจำนวนชั้นส่วนย่อยใน รูปที่ 2.20

รูปที่ 2.20 แสดงความแตกต่างของจำนวนอิลิเมนต์
ที่มา ศุภชัย ธรรมถรพยัพ (2548)

Efficient Element Numbering

1	4	7	10	13	16
2	5	8	11	14	17
3	6	9	12	15	18

Less Efficient Element Numbering

1	2	3	4	5	6
7	8	9	10	11	12
13	14	15	16	17	18

2.5.2 ชนิดของอิลิเมนต์ (Element Type)

ชนิดของชิ้นส่วนย่อของสามารถที่จะแบ่งออกเป็นกลุ่มๆ ได้ เช่น 2 มิติ , 3 มิติ, คาน(Beam) , และแผ่นบาง (Plate) หรือบางกรณีที่พิเศษนอกเหนือจากนี้ เช่น การหาค่าของสปริง , จุดศูนย์กลาง ของมวล , ชิ้นส่วนย่อของแคมเปอร์ (Damper) เป็นต้น

2.5.2.1 อิลิเมนต์ที่อยู่ในระบบสองมิติ

ชิ้นส่วนย่อที่อยู่ในระบบ สองมิติ ทั้งสองระบบนาระนาบความเดิน , ระบบความเครียด ระบบสองมิติ จะใช้ได้ต่อเมื่อมีแรง และระบบการเคลื่อนที่ในแต่ละนาบ โดยองค่าเสรี (Degree of Freedom) ทั้งสองชนิดนี้ค่าเท่ากับ 2 ต่อจุดข้าว ซึ่งจะประกอบด้วยชิ้นส่วนที่เป็นสี่เหลี่ยม และ ชิ้นส่วนที่เป็นรูปสามเหลี่ยม ชิ้นส่วนที่สมมาตรกับแนวแกน (Axisymmetric Element) จะได้รับร่วง จำลองเทียบกับแกนกลาง เช่นงานที่เป็นถังความดัน

โดยชิ้นส่วนที่สมมาตรกับแนวแกน สามารถที่จะกำหนดเงื่อนไขได้แตกต่างจาก 2 มิติ เพราะทิศทางการเคลื่อนที่เมื่อเทียบกับแกนสมมาตรจะมีค่าเป็นศูนย์ ก็จะเหลือแต่เพียงการเคลื่อนที่ ตามแนวแกน

2.5.2.2 อิลิเมนต์ที่อยู่ในระบบสามมิติ

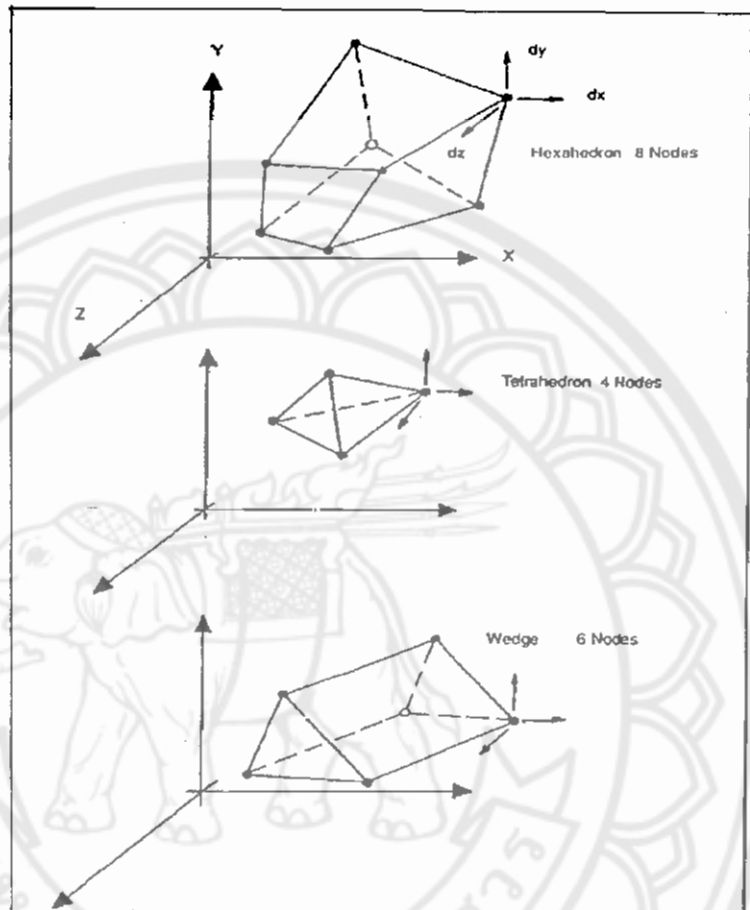
ชิ้นส่วนย่อในระบบสามมิติจะมีทิศทางการเคลื่อนด้วยเพิ่มขึ้นจากระบบสองมิติโดย องค่าเสรี (Degree of Freedom) จะมีค่าเท่ากับ 3 ต่อหนึ่งจุดข้าว และทิศทางการเคลื่อนที่ 3 แนวแกน คือ x,y และ z รูปร่วงของอิลิเมนต์ (Element) ที่สร้างในระบบสามมิติคือ เทตาเซครอน (Tetrahedron) , เวจจ์ (Wedge Shapes) , และปริซึม 8 เหลี่ยม (Hexahedron) ดังแสดงในรูปที่ 2.21

2.5.2.3 อิลิเมนต์แบบคาน (Beam element)

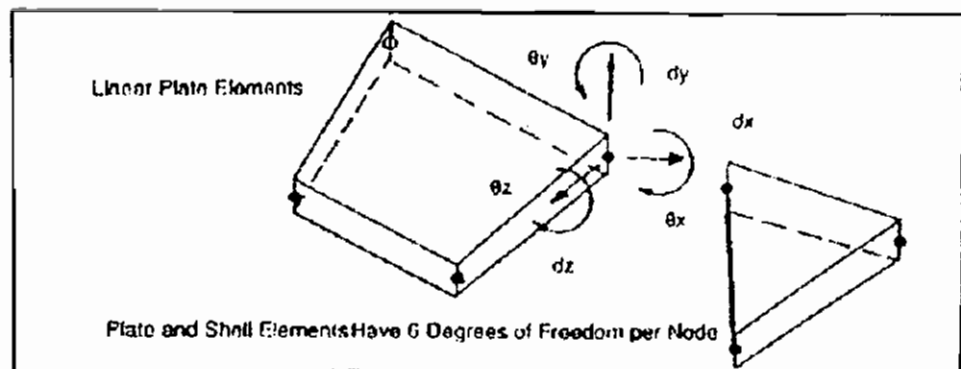
คานมีจุดข้าวเพียงจุดเดียวที่ปลายคาน แต่จะมีองค่าเสรีของการหมุน (Rotation Degree of Freedom) เพิ่มขึ้นเพื่อใช้ในการส่งผ่านโมเมนต์ ดังแสดงในรูปที่ 2.22 จะมีองค่าเสรีเท่ากับ 6 ต่อจุดข้าว ในกรณีเป็นการพิจารณาคานในระบบ 3 มิติ โมเมนต์อีกสามทิศทาง ในอิลิเมนต์แบบคานจะ สมมติให้คลอดคักทั้งหน้าตัดมีค่าเท่ากัน และค่าโมเมนต์ความเรื้อย (Moment of Inertia) มีค่าเท่ากัน คลอดทั้งอิลิเมนต์

ชิ้นส่วนย่อแบบนี้จะมีจำนวนองค่าเสรี 6 ต่อจุดข้าว ดังแสดงในรูป มีลักษณะอิลิเมนต์ แบบแผ่นบาง ที่มีจุดข้าวเพียงจุดข้าวเดียวในแนวเดียว โดยจะถือว่าคลอดหน้าตัดมีค่าเท่ากันคลอด

รูปที่ 2.21 แสดงลักษณะของการกำหนดอิฐเมนต์ของแต่ละลักษณะ
ที่มา ศุภชัย คระกุลทรัพย์ทวี



รูปที่ 2.22 แสดงอิฐเมนต์แบบแผ่น
ที่มา ศุภชัย คระกุลทรัพย์ทวี (2548)



เมตริกซ์ความยืดหยุ่น (Stiffness Matrix) จะเขียนอยู่ในรูป

$$[k] = \int [B^T] D [B] dV \quad (2.48)$$

ระบบของการเคลื่อนที่ในแนวตั้งจากจะกำหนดด้วย W_i และเปลี่ยนในรูปของเวกเตอร์ของความเครียด (Strain Vector)

$$\{\varepsilon\} = \begin{bmatrix} -\frac{\partial w}{\partial x^2} \\ -\frac{\partial w}{\partial y^2} \\ 2\frac{\partial w}{\partial x \partial y} \end{bmatrix} \quad (2.49)$$

โดยเมตริกซ์ของระบบการเคลื่อนตัวจะประกอบจาก ระบบการเคลื่อนที่และการหมุนอีกสองแนวแกน

$$\{d\} = \begin{bmatrix} w_i \\ \theta_{xi} \\ \theta_{yi} \end{bmatrix} = \begin{bmatrix} w_i \\ \partial w / \partial y_i \\ \partial w / \partial x_i \end{bmatrix} \quad (2.50)$$

เมตริกซ์ $[B]$ สามารถกำหนดจาก

$$[B] = \begin{bmatrix} -\frac{\partial^2 [N_i]}{\partial x^2} \\ -\frac{\partial^2 [N_i]}{\partial y^2} \\ 2\frac{\partial^2 [N_i]}{\partial x \partial y} \end{bmatrix} \quad (2.51)$$

อิสotropic เมตริกซ์ $[D]$ ของไอโซไทรปิค (Isotropic) กำหนดด้วย

$$[D] = \frac{Et^2}{12(1-\mu^2)} \begin{bmatrix} 1 & \mu & 0 \\ \mu & 1 & 0 \\ 0 & 0 & (1-\mu)/2 \end{bmatrix} \quad (2.52)$$

เมื่อ t เท่ากับความหนาของแผ่น

2.6 เปรียบเทียบข้อดีข้อด้อยการวิเคราะห์เสถียรภาพความลาดวิธี Equilibrium Equation และวิธี Finite Element ในการวิเคราะห์เสถียรภาพความลาด

2.6.1 ข้อดีข้อด้อยวิธี Limit Equilibrium ในการวิเคราะห์เสถียรภาพความลาด

ข้อดีของวิธี Limit Equilibrium

- เป็นวิธีที่นิยมใช้และรู้จักโดยทั่วไปในปัจจุบัน
- ใช้เพียง Mohr-Coulomb Soil Parameters ในการวิเคราะห์ซึ่งเป็นคุณสมบัติคินที่สามารถทดสอบได้โดยตรงในห้องปฏิบัติการ
- วิเคราะห์ปัญหาชั้นคินที่ซับซ้อนได้
- ใช้เวลาในการคำนวณน้อย และมีขั้นตอนในการคำนวณง่าย ไม่ซับซ้อนมากนัก มีโปรแกรมคอมพิวเตอร์เขียนวนมากรให้เลือกใช้ในการวิเคราะห์

ข้อด้อยของวิธี Limit Equilibrium

- เมื่อองค์ประกอบต้องตั้งสมมติฐานเพิ่มเติมของแรงลัพธ์ระหว่างชั้นคินแนวตั้ง เพื่อให้สามารถใช้สมการสมดุลโนเมนต์และสมการสมดุลแรงนาวิเคราะห์ปัญหาได้ ดังนั้น จึงไม่สามารถตรวจสอบความแม่นยำของค่าสัดส่วนปลดภัยที่วิเคราะห์มาได้
- เมื่อวิเคราะห์เสถียรภาพของความลาดที่มีโครงสร้างเสริม เช่น สมอี้ด Sheet pile หรือ Geo-textile ยังมีข้อโต้แย้งถึงสมมติฐานที่ให้โครงสร้างดังกล่าวเป็นเสมือนแรงภายนอกซึ่งยังไม่ถูกต้องตามหลักทฤษฎี
- เป็นวิธีที่ไม่สามารถยืนยันความถูกต้องของวิเคราะห์

2.6.2 ข้อดีข้อด้อยวิธี Finite Element Method ในการวิเคราะห์เสถียรภาพความลาด

ข้อดีของ Finite Element Method

- ในนี้ข้อสมมติฐานเพิ่มเติมในการคำนวณทำให้คำที่วิเคราะห์ได้มีความถูกต้องและแม่นยำ
- การวิเคราะห์ด้วยวิธีนี้ สามารถที่จะคาดคะเนการเคลื่อนตัวของมวลคิน (Ground Movement) ด้วย
- พื้นผิววัสดุที่ที่คำนวณไม่จำเป็นต้องสมมติล่วงหน้า

ข้อด้อยของ Finite Element Method

- ผู้ใช้ต้องมีความรู้และทักษะด้านการป้อนข้อมูลสำหรับวิเคราะห์ เช่น Mesh Generation หรือ Boundary Condition เป็นต้น
- จำเป็นต้องใช้พารามิเตอร์ของคินหลายตัว นอกจากพารามิเตอร์กำลังแรงเฉือนของแบบจำลอง Mohr-Coulomb เช่น Young's Modulus, Poisson's Ratio, Dilat ion Angle หรืออื่นๆ พารามิเตอร์ของคินบางค่าว่าทำการทดสอบในห้องปฏิบัติการและหาค่าได้ยาก